

田形セル型防波堤による水理実験

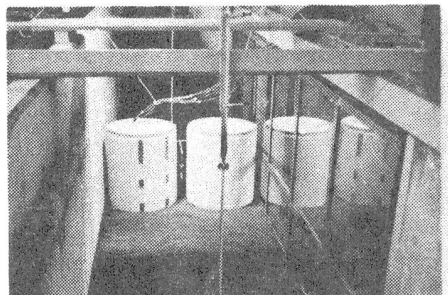
特に波压 越波 間隙部流速および通過波について

北海道開発局 土木試験所 正員 井波宏之

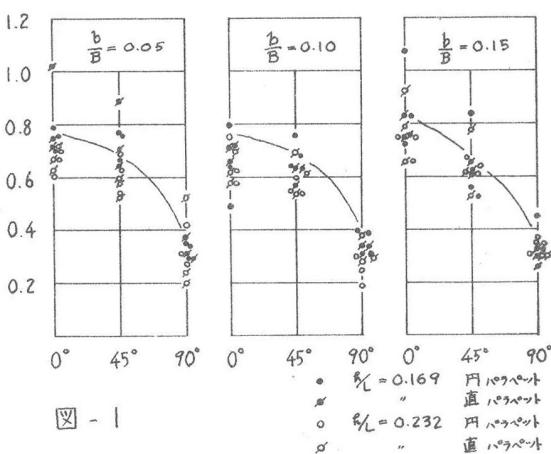
セル型防波堤は比較的新しい型式の防波堤で水深の大きさ地盤上に建設する場合経済的に有利とされていながら、設計・施工上いろいろ問題がある。たゞ今まで用いられた構造物では外力に対する三次元的力学的解析が要求される。また防波堤が通過構造とする場合には間隙部の接続方法による。又防波堤本体の力学的解析が非常に複雑となる。今では防波堤を連続構造とする。間隙部からの通過を許す。通過波高は港内波高の許容範囲にありまつてがで生じない。防波堤の構造も簡単化し、施工も容易になると考えられる。算着は通過性田形セル型防波堤を水深18.5mの地盤上に建設する場合のもので次の項目について水理実験を行なった。

- i 防波堤的作用による重複波の波压と分布。
- ii 防波堤間隙比と通過波高。
- iii 間隙部の流速測定。
- iv 上部工の形状と越波の状況。

1. 実験設備と諸元。 実験水槽は大型造波水路(106m, 中1.8m, 深2.1m)を使用した。地形は直角配の砂輪床である。波高の測定は電磁振子式波高計で、流速の測定は小型プロペラ式流速計を使用した。波压は真直下から正面(0°), 側面(45°, 90°)へ3列で各±1.5m, -3m, -10m, -17mの5箇所測定した。セル防波堤の直壁は80cm(20m), 水深714cm(18.5m), 実験波は $H_m=8\text{cm}$ (2.0m), 13.6cm (3.4m), 20cm (5m), $T_m=1\text{sec}$ (5sec), 1.5sec (7.5sec), 1.8sec (9.0sec), 間隙比 b/B は0.05, 0.10, 0.15である。上部工は田字状と直線状のペケットの2種類である。



2. 波压とその分布。 図-1は実測波压合力 P_m とサンフルーハー計算波压合力 P_s の比と受压角度 θ の関係を $b/B = 0.05, 0.10, 0.15$ について示したものである。 $\frac{P_m}{P_s}$ (水深波長比) は $0.75, 45^\circ, 90^\circ$ でそれぞれ $0.65, 0.33$ である。波压の鉛直分布は静水位附近でピークをもつた分布形をなし、波压強度は図の数値ほど変わらない。



3. 間隙比と通過波 $\frac{H_s}{H_1}$ と b/B との関係を示す。防波堤の天端が 13.7m を底として越波によって乱れが生じ

数値はばらつきが大きい。

図中実線は長波の理論から
諸算定下群式で、重複波
の碎波限界を $H_s = 4$ と実測値
を算定した。実線は Wiegel の値である。

平均的形状は波高を H_s
と Wiegel の相應する分布
をもとめ、ばらつきを考慮
して群式適用である。
10ペットの形状によく相
應する結果から明瞭で
である。

図-2

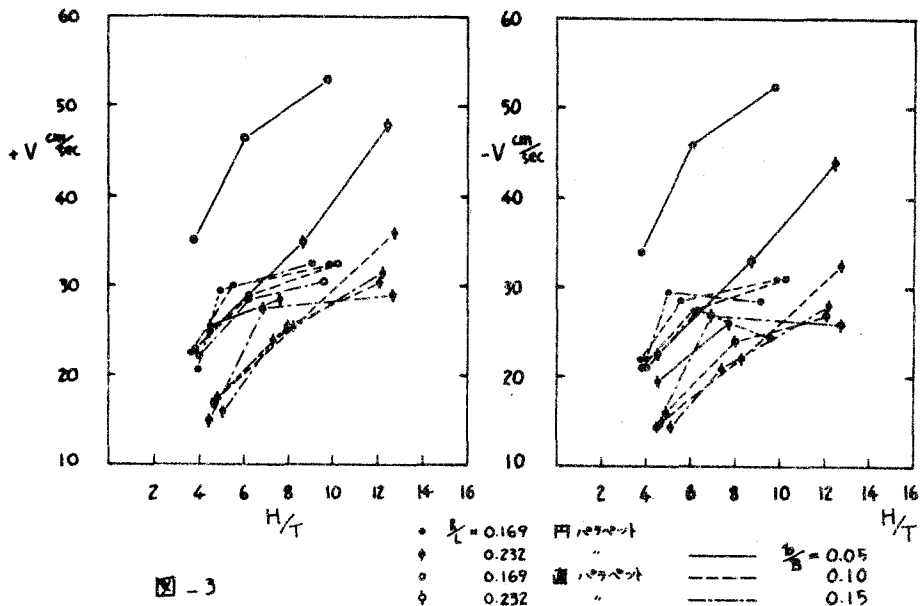
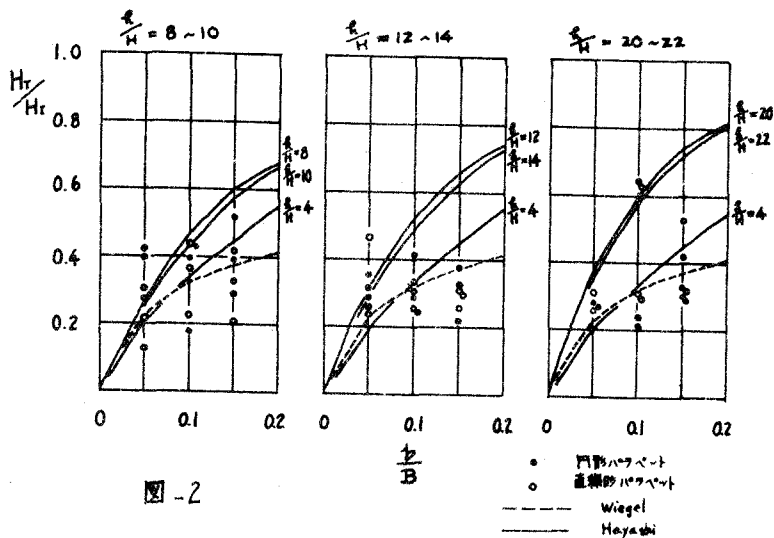


図-3

4. 間隙部の流速測定。間隙部の流速は水底から 5^{m} の高さの平均流速で求めた。防波堤付近の
流れは水底上形成された砂堆積から判断される。防波堤前面 30^{cm} 付近に $\times 3$ から横方向の流れを生じ、
間隙部に向って \rightarrow する。左が、右が間隙部での流速は水位の上昇と共に流れの集束によって
より大きな流速を示す。図-3は前進流速と後退流速と等しい関係を示す。

5. 截波による。波高が水深の範囲では10ペットの形状による波浪の状況の違いは少ない
が、波高が水深の約2倍になると、波浪が正面より上方に直線状に10ペットの前面で跳躍を生じ
て落する。同時に $\times 3$ へ \rightarrow する波浪後は噴氣となる。波浪量が $\times 3$ と直線状
に減少する場合と多少の差が観察される。